

## Vektorfelder und Euler-Charakteristik

Sei  $U \subset \mathbb{R}^m$  offen,  $v: U \rightarrow \mathbb{R}^m$  glattes Vektorfeld:  $v(p) \in T_p \mathbb{R}^m \cong \mathbb{R}^m$

$v$  habe eine isolierte Nullstelle in  $p_0$

$\epsilon > 0$  klein mit  $v(p) \neq 0$  für alle  $p \in D_\epsilon(p_0) = \{q \in \mathbb{R}^m \mid \|q - p_0\| < \epsilon\}$

und

- $p \neq p_0$
- $D_\epsilon(p_0) \subset U$

Definition: Der Index  $\text{ind}_{p_0}(v)$  von  $v$  in  $p_0$  ist der

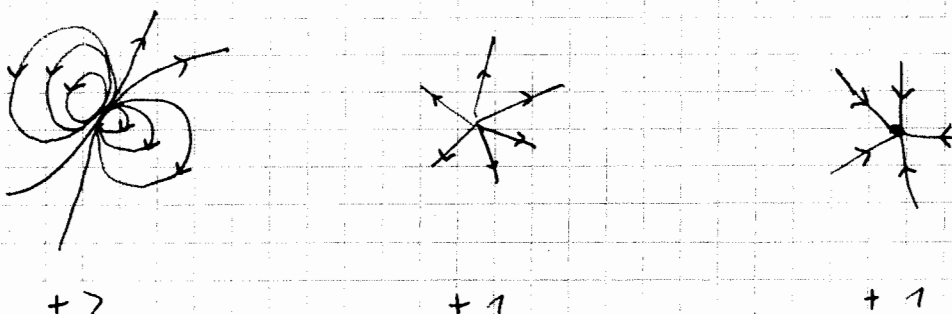
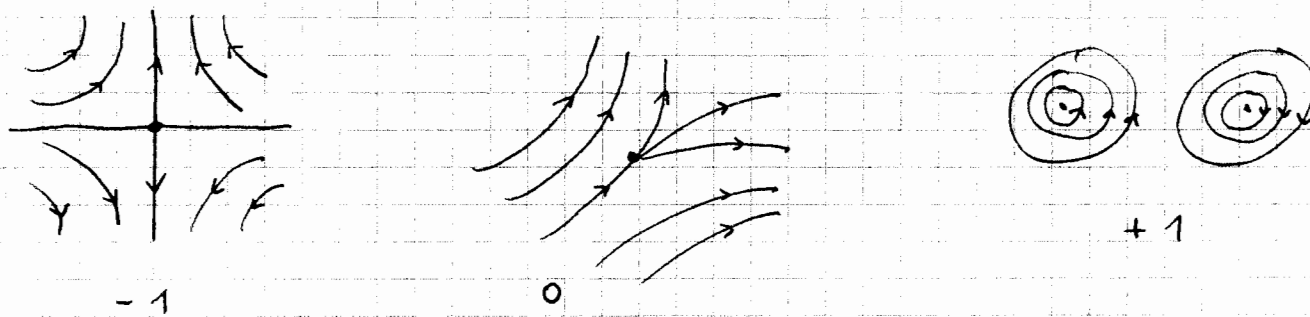
grad der Abbildung

$$S^{m-1} := \partial D_\epsilon(p_0) \longrightarrow S^{m-1}$$

$$p \mapsto \frac{v(p)}{\|v(p)\|}$$

Bemerkung: Die Sphären erhalten die Randorientierung der entsprechenden Bälle.

Beispiel ( $m=2$ ) Man zeichnet die Flusslinien von  $v$ , dh. die Lösungskurven der DGL  $\dot{p} = v(p)$ ,  $p = p(t)$



(-1 in ungerader Dimension)

Allgemein:  $\mathbb{R}^n = \mathbb{C}$ ,  $z \in \mathbb{C}$ ,  $k \in \mathbb{N}$

- $v(z) = z^k \Rightarrow \text{ind}_o(v) = k$
- $v(z) = \bar{z}^k \Rightarrow \text{ind}_o(v) = -k$

Bemerkung:  $m=2$ :  $\text{ind}_o(v)$  zählt wie oft der Vektor  $v$  vollständig rotiert wenn man einen kleinen Kreis um  $0$  entgegen des Uhrzeigersinns durchläuft.

Lemma 1: Der Index  $\text{ind}_o(v)$  ist invariant unter Diffeomorphismus, d.h. für einen Diffeomorphismus  $f: U \rightarrow U'$  gilt:

$$\text{ind}_{f(p)}(v') = \text{ind}_{p_0}(v)$$

$$\text{für } v' = df \cdot v \cdot f^{-1} \quad \text{d.h. } v'(p') = d_{f(p')} f(v(f(p')))$$

Bemerkung: Mit Lemma 1 lässt sich der Index von Vektorfeldern auf beliebigen Mfd. definieren:

$$\text{ind}_p(v) := \text{ind}_{\varphi^{-1}(p)}(d\varphi^{-1} \cdot v \cdot \varphi)$$

für Parametrisierungen  $\varphi: U \subset \mathbb{R}^n \rightarrow M$ .

- Der Beweis von Lemma 1 stützt sich auf Lemma 2:

Lemma 2: Jeder orientierungsverhaltende Diffeomorphismus ist isotop zur Identität.

Beweis:  $f: \mathbb{R}^m \rightarrow \mathbb{R}^m$  Diffeomorphismus, obdA  $f(0)=0$

man schreibt  $f$  als:

$$f(x) = \sum_{j=1}^m x_j \cdot g_j(x)$$

$$\text{d.h. } f_i = \sum x_j \cdot g_{ij}$$

$$\rightarrow df(0) = (g_{ij}(0))$$

$$\text{da } f(x) - f(0) = f(x)$$

$$= \int_0^1 \frac{d}{dt} f(tx_1, \dots, tx_n) dt$$

$$= \sum x_i \int_0^1 \frac{\partial f}{\partial x_i}(tx_1, \dots, tx_n) dt$$

$$=: g_i(x)$$

Die Isotopie wird definiert durch:

$$F: \mathbb{R}^n \times [0,1] \rightarrow \mathbb{R}^n$$

$$F(x, t) = \sum_{j=1}^m x_j \cdot g_j(t \cdot x)$$

(glatt in  $x$  und  $t$ )

$$= \begin{cases} \frac{f(tx)}{t} & \text{für } 0 < t \leq 1 \\ J_f(0) \cdot \begin{pmatrix} x \\ 1 \end{pmatrix} & \text{für } t = 0 \end{cases}$$

$$\text{d}g \quad d_0 f(x) = \lim_{t \rightarrow 0} \frac{f(t \cdot x) - f(0)}{t}$$

d.h.  $f$  ist isotop zu der durch  $J_f(0)$  gegebenen  
linearen Abbildung

$f$  orientierungsverhaltend  $\Rightarrow d_0 f = J_f(0) \in GL_+(n, \mathbb{R}) = \{A \in M(n, \mathbb{R}) \mid \det A > 0\}$   
 $\Rightarrow J_f(0)$  ist isotop zur Identität  $\quad (*)$   
 $\Rightarrow f$  ist isotop zur Identität

zu (\*):  $GL_+$  ist zus. und  $Id \in GL_+$

$\rightarrow$  es existiert ein Weg in  $GL_+$  der jede Matrix mit  $Id$  verbindet, d.h. eine Isotopie

Bemerkung: Im Unterschied zu  $\mathbb{R}^n$  existieren für viele Werte  $n$  orientierungsverhaltende Diffeomorphismen der  $S^n$ , die nicht isotop zur Identität sind.

Diese definieren durch Verklebung entlang des Äquators  $S^n \subset S^{n+1}$  exotische diff. top. Strukturen auf  $S^n$

z.B. exotische  $7$ -Sphären  $\quad (\rightarrow$  Milnor)



(7b)

### Beweis von Lemma 1:

OBdt:  $p_0 = f(p_0) = 0$ ,  $U \subset \mathbb{R}^m$  konvex

1. Fall:  $f$  sei orientierungs erhaltend

→ es ex. eine Familie von Einbettungen  $f_t: U \rightarrow \mathbb{R}^m$  mit:

$$f_0 = \text{Id}, \quad f_1 = f, \quad f_t(0) = 0 \quad \forall t \in [0, 1]$$

$$V_t := df_t \circ V \circ f_t^{-1} \quad \text{Vektorfeld auf } f_t(U)$$

Sei  $\epsilon > 0$  hinreichend klein mit  $V_t \neq 0$  auf  $D_\epsilon$  für  $\forall t$

$$\Rightarrow (p, t) \mapsto \frac{V_t(p)}{\|V_t(p)\|}$$

definiert eine Homotopie von Abbildungen  $S_\epsilon \rightarrow S$

→  $\text{ind}_{p_0}(V_0) = \text{ind}_{p_0}(V_1)$  da Homotopieinvariant des Abbildungsgrades

→ Aussage des Lemmas:  $V_0 = v, V_1 = v'$

2. Fall:  $f$  sei orientierungs unehaltend

Mit Hilfe von Fall 1 kann man sich auf den Fall eines speziellen orientierungsunkelnden Diffeomorphismus beschränken, z.B.

$$f(x_1, \dots, x_m) = (-x_1, x_2, \dots, x_m) \quad \text{Spiegelung}$$

$$\Rightarrow v' = df \circ V \circ f^{-1} = f \circ V \circ f$$

$$\Rightarrow \frac{v'}{\|v'\|} = f \circ \frac{V}{\|V\|} \circ f \quad \text{da } f \text{ linear und längserhaltend}$$

$$\Rightarrow \text{ind}_{p_0}(v') = \deg(f \circ \frac{V}{\|V\|} \circ f)$$

$$= \deg(\frac{V}{\|V\|})$$

$$= \text{ind}_{p_0}(v)$$

### Satz (Poincaré-Hopf-Lindersatz)

Sei  $M$  eine kompakte Mft.,  $v$  ein Vektorfeld auf  $M$  mit isolierten Nullstellen. Falls  $\partial M \neq \emptyset$ , dann zeige  $v$  in allen Randpunkten nach außen. Dann ist

$$I(v) := \sum_{\substack{p \in M \\ v(p)=0}} \text{ind}_p(v)$$

eine topologische Invariante von  $M$ , die nicht von der Wahl des Vektorfeldes abhängt.

Bemerkung: Die topologische Invariante  $I(v)$  heißt Euler-Charakteristik von  $M$ :

$$\chi(M) = \sum_{k=0}^n (-1)^k \dim H_k(M) = \sum_{k=0}^n (-1)^k \text{rank } H_k(M)$$

Für eine kompakte Fläche ohne Rand mit einer Triangulierung mit  $e$  Ecken,  $k$  Kanten und  $f$  Dreiecksflächen gilt:

$$I(v) = \chi(M) = e - k + f$$

$$\text{z.B. } \chi(S^2) = 2$$

Der Beweis zeigt, dass  $\chi(M)$  nicht von der gewählten Triangulierung abhängt.

- $k$ -Simplex =  $\{x = \lambda_1 v_0 + \dots + \lambda_k v_k \mid \sum \lambda_i = 1\}$   $v_0, \dots, v_k$  in allgemeiner L.

0-Simplex:  $\bullet v_0$ , 1-Simplex:  $\overrightarrow{v_0 v_1}$ , 2-Simplex:  $\begin{array}{c} v_2 \\ \backslash \quad / \\ v_0 \quad v_1 \end{array}$ , 3-Simplex:  $\begin{array}{c} v_2 \\ \backslash \quad / \\ v_0 \quad v_1 \\ \backslash \quad / \\ v_3 \end{array}$

- Simplicial Komplex = endliche "Vereinigung" von Simplices in  $\mathbb{R}^n$  mit:

- a) liegt ein Simplex in der Vereinigung so auch all seine Seiten
- b) schneiden sich zwei Simplices, so tun sie es in einer Seite

- Triangulierung eines topologischen Raumes  $X$

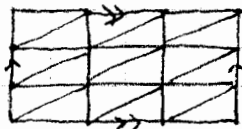
= Homöomorphismus  $\varphi: |K| \rightarrow X$   
wobei:  $K$  ein Simplicialer Komplex,  $|K|$  Vereinigung seiner Simplices

$|K| \subset \mathbb{R}^n$   
mit Testraum-Top.

Beispiele:



$$\chi(S^2) = 4 - 6 + 4 = 2$$



$$\chi(T^2) = 9 - 27 + 18 = 0$$

allgemein:



$$\Sigma_g = M^2$$

$g = \text{Anzahl der Löcher} = \text{Geschlecht}$

$$\Rightarrow \chi(\Sigma_g) = 2 - 2g$$

$$\Sigma_g = T^2 \# \dots \# T^2$$

$g$ -mal

Klassifikation: Jede geschlossene orientierte Fläche ist homöomorph zu einem  $\Sigma_g$ .

$\Rightarrow$  Nur der Torus besitzt nullstellenfreie Vektorfelder

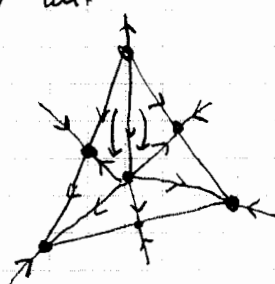
Bemerkung: Jede Fläche besitzt eine Triangulierung

- Zu einer gegebenen Triangulierung von  $M^2$  (mit  $\partial M = \emptyset$ ) konstruiert man ein spezielles Vektorfeld  $V$  mit

jede Ecke Nullstelle vom Index +1

jede Kante Nullstelle vom Index -1

jede Seite Nullstelle vom Index +1



$$\Rightarrow I(V) = e - k + f$$

- $\chi(M) = \sum_k (-1)^k$  Anzahl k-dim Seiten von  $T$ ,  $T$  Triangulierung von